

1074

AGIP S.p.A.
DIREZIONE MINERARIA
Servizio Giacimenti



STOCCAGGIO
NEL CAMPO DI BRUGHERIO

S. Donato Mil., Luglio 1969
Rel. n° 1136 /

Il Responsabile del Servizio
Ing. Emilio Henking



INTRODUZIONE

Questo studio farà riferimento al solo pool A del campo in quanto i pools minori sono di scarsissimo interesse.

Lo scopo è di valutare il gas originalmente in posto e recuperabile in base al comportamento passato della produzione (per produzione si intende anche la fase di stoccaggio già avvenuta) e studiare programmi diversi di iniezione e produzione allo scopo di permettere di programmare i cicli di stoccaggio futuri.

SOMMARIO

E' stato calcolato il gas originalmente in posto e quello recuperabile utilizzando il calcolatore elettronico IBM 1620 dell'Università di Bologna. Col calcolatore IBM 7040 (programma GIAC 009) del CED è stata eseguita la ricostruzione del comportamento passato e sono stati eseguiti diversi programmi di previsione.

CONCLUSIONI

- Gas originalmente in posto	2064×10^6 Nmc
- Riserva originale	1660×10^6 Nmc
- Produzione cumulativa al 5.5.69	$755,1 \times 10^6$ Nmc
- Riserva al 5.5.69	$904,9 \times 10^6$ Nmc
- Pressione originale	118,2 Kg/cmq ass.
- Sono stati analizzati 3 casi di previsione	
1) working gas	200×10^6 Nmc
2) " "	300×10^6 Nmc
3) " "	400×10^6 Nmc



- Per tutti e tre i casi si è supposto di stoccare nell'estate 1969 circa 350×10^6 Nmc per riportarsi alle condizioni che si avevano all'inizio dell'inverno 1968/69.
- In nessuno dei tre casi si supera la pressione statica originale.

I valori minimi e massimi della pressione statica sono risultati:

Caso	Pressione minima Kg/cmq ass.	Pressione massima Kg/cmq ass.
1	99,1	111,2
2	94,5	113,0
3	89,8	114,9

- La tavola d'acqua si mantiene su una quota costante di m 935 s.l.m.
- Per quanto riguarda le punte massime giornaliere l'unica limitazione è dovuta alla contropressione di testa che è stata assunta pari a 58 Kg/cmq. ass.



DISCUSSIONE

Comportamento passato della produzione

L'accumulo di gas nelle ghiaie del Pliocene inferiore è stato scoperto nell'anno 1958.

Sono stati evidenziati 3 pools separati di cui due interessati dai pozzi 1, 2 e 22, sono di scarsissimo interesse e non vengono trattati in questa sede.

La pressione statica originale del pool principale era di 118,2 Kg/cmq . ass.

La produzione ha avuto inizio nell'ottobre 1961 attraverso i pozzi 5 e 8.

In seguito sono entrati in produzione gli altri pozzi del pool principale come di seguito elencato:

Novembre 1961	pozzo 14
Febbraio 1962	pozzi 7-10-13
Settembre 1963	pozzo 16
Agosto 1964	pozzi 3-11-17-18-19
Novembre 1965	pozzi 20-21
Novembre 1968	pozzi 25-26-27

Il campo ha prodotto regolarmente fino al giugno 1966; a tale data la produzione cumulativa era di 671×10^6 Nmc e la pressione statica di giacimento era scesa a 88,0 Kg/cmq. ass. con un declino di 30,2 Kg/cmq ($22,2 \times 10^6$ Nmc/atm).

Nel periodo di produzione del campo si è notato un innalzamento della tavola d'acqua che ha interessato in particolare i pozzi 5 ed 8 della zona ad alta permeabilità ed il pozzo 14 nella zona scarsamente permeabile.



Dalle misure eseguite è risultato che al giugno 1966 la tavola d'acqua nella zona ad alta permeabilità era risalita di circa 35 mt (quota iniziale T. A. mt. 945 s.l.m.), mentre nella zona scarsamente permeabile era risalita molto meno.

Nel giugno 1966 iniziava lo stoccaggio sotterraneo del gas attraverso i pozzi di culmine del livello. Di seguito viene riportata la cronologia dei cicli di stoccaggio e produzione:

- 1) Durante il primo ciclo di stoccaggio (30/6/66-31/10/66) vennero iniettati in giacimento $220,8 \times 10^6$ Nmc.

La pressione statica media rilevata al termine dell'iniezione di gas risultava di 106,8 Kg/cmq. ass.

- 2) Nel successivo periodo di recupero (1/11/66-30/3/67) venivano prodotto $157,7 \times 10^6$ Nmc e nello stesso periodo se ne iniettavano $11,7 \times 10^6$ Nmc (Differenza = $146,0 \times 10^6$ Nmc recuperati).

La pressione statica media misurata al 30/3/67 risultava di 96,2 Kg/cmq. ass.

- 3) Durante il periodo 1/4/67-9/11/67 venivano iniettati $182,0 \times 10^6$ Nmc mentre $4,6 \times 10^6$ Nmc venivano prodotti (differenza $177,4 \times 10^6$ Nmc iniettati).

La pressione statica media di giacimento rilevata al 9-11-67 risultava di 109,3 Kg/cmq. ass.

- 4) Nel successivo periodo di recupero 10/11/67-15/3/68 venivano prodotti $169,5 \times 10^6$ Nmc.

Al termine del periodo di produzione veniva misurata la pressione statica media che risultava di 96,0 Kg/cmq. ass.



5) Nel successivo periodo di stoccaggio 16/3/68-25/10/68 venivano iniettati $184,5 \times 10^6$ Nmc di cui ne venivano recuperati $14,0 \times 10^6$ Nmc. (Differenza = $170,5 \times 10^6$ Nmc iniettati).

La pressione statica media rilevata al 25/10/68 risultava di 109,9 Kg/cmq. ass.

6) Nel periodo di produzione 26/10/68-5/5/69 sono stati prodotti $371,5 \times 10^6$ Nmc e iniettati $34,2 \times 10^6$ Nmc (Differenza $337,3 \times 10^6$ Nmc prodotti). In questo periodo si è recuperato tutto il gas stoccati nei periodi precedenti. Inoltre venivano svasati $84,1 \times 10^6$ Nmc della riserva esistente all'inizio dello stoccaggio.

Pertanto alla fine di quest'ultimo periodo la produzione cumulativa del pool risultava di $755,1 \times 10^6$ Nmc.

Il valore della pressione statica rilevata in soli 3 pozzi era di 85,6 Kg/cmq. ass. Nella tabella 1 sono riportati i valori di pressione statica, le produzioni di ogni ciclo ed i relativi rapporti Nmc/atm.

In fig. 1 è diagrammato il comportamento passato della pressione statica e della produzione.

Calcolo del gas originalmente in posto e recuperabile

Accertato che il meccanismo di spinta è del tipo a "water drive", con l'ausilio del calcolatore IBM 1620 (programma Rete 10A) dell'Università di Bologna è stata effettuata la ricerca del gas originalmente in posto G e dei parametri del sistema giacimento-acquifero (C=costante per il calcolo dell'ingresso d'acqua, T_d =tempo adimensionale ed R_e =raggio adimensionale).

Per diverse coppie di valori T_d ed R_e sono state calco-



late le coppie di valori G e C ed è stata eseguita la ricostruzione del comportamento passato della pressione statica. E' stato calcolato lo scarto quadratico medio σ fra i valori di pressione ricostruiti e quelli misurati.

La coppia di valori G e C scelti è quella con la quale si ottiene il valore minimo dello scarto quadratico medio.

Nel caso in esame si sono ottenuti i seguenti valori:

$$G = 2064 \times 10^6 \text{ Nmc}$$

$$C = 8129 \quad \text{mc/Kg/cmq}$$

$$T_d = 0,025 \quad \text{giorni}^{-1}$$

(ca. 9 anni⁻¹)

$$R_e = 7$$

$$\sigma = 0,6519$$

Nella tabella 2 sono riportate le coppie di parametri usati per la ricerca ed i relativi risultati.

La ricostruzione del comportamento passato con i valori scelti è raffrontata con i valori misurati in figura 2.

Pur notando per gli ultimi valori ricostruiti una leggera differenza rispetto a quelli misurati si ritiene che i valori di G e C scelti siano accettabili e tali da permettere di eseguire dei calcoli di previsione sufficientemente attendibili.

Il valore del gas originalmente in posto ottenuto col metodo indicato non discosta da quello ottenuto volumetricamente in parecchie occasioni analizzando l'avanzamento della tavola d'acqua, la produzione cumulativa e la pressione statica.



Per quanto riguarda il gas recuperabile, sulla base del comportamento dei giacimenti a water drive e della situazione litologica del campo, è stato assunto un fattore di recupero di circa 80% ottenendo quindi un valore di 1660×10^6 Nmc.

Previsioni sul comportamento futuro

Ricostruito, come precedentemente spiegato, il modello giacimento-acquifero, sono stati studiati 3 casi di previsione (produzione e stoccaggio).

I calcoli sono stati eseguiti con il calcolatore elettronico IBM 7040 (prog. GIAC 009) del CED.

Ipotesi di base per ognuno dei casi considerati è stata quella di stoccare nell'estate 1969 una quantità di gas tale da riportare il giacimento nelle condizioni esistenti all'inizio dell'inverno 1968/69. Essendo tale quantità pari a circa 350×10^6 Nmc la riserva all'inizio dell'inverno 1969/70 risultava per tutti e tre i casi di circa 1250×10^6 Nmc.

Poichè è improbabile che, con l'attuale disponibilità di gas, un simile programma di stoccaggio possa essere rispettato ci ripromettiamo di rieseguire i calcoli sulla base dei consumativi a fine ciclo. Altra ipotesi ritenuta valida per i tre casi è quella di mantenere costante, nella fase di produzione, la pressione dinamica di testa (58 Kg/cm²q. ass.).

I tre casi analizzati sono:

- 1) working gas pari a 200×10^6 Nmc dall'1. 10. 1969
- 2) working gas pari a 300×10^6 Nmc dall'1. 10. 1969
- 3) working gas pari a 400×10^6 Nmc dall'1. 10. 1969



La durata di ogni ciclo di stoccaggio e produzione è stata considerata pari a 6 mesi e precisamente:

stoccaggio dall'1° aprile al 30 settembre
produzione dall'1° ottobre al 31 marzo

Per valutare la portata media giornaliera durante la produzione si è assunto un coefficiente di utilizzazione pari a 0,8.

I calcoli sono stati eseguiti per step di tre mesi per un periodo complessivo di 15 anni (a partire dal 1969).

I risultati principali sono riportati nelle tabelle 3, 4 e 5 e nelle figure 3, 4, 5, 6, 7, 8.

(NB! I valori riportati nelle tabelle sono limitati al 1977 in quanto i valori relativi agli anni futuri non variano).

Dalle figure 3, 4 e 5 risulta evidente come la pressione statica non superi mai il valore della pressione statica originale di 118,2 Kg/cmq. ass.

Di seguito riportiamo i valori minimi e massimi raggiunti dalla pressione statica nei casi considerati:

Working $Nm \times 10^6$	Press. minima Kg/cmq. ass.	Press. massima Kg/cmq. ass.
200	99,1	111,2
300	94,5	113,0
400	89,8	114,9

Nelle figure 6, 7 e 8 è diagrammato l'andamento previsto dalla pressione statica in funzione della produzione cumulativa. (E' evidente il fenomeno di isteresi che si verifica nei giacimenti di stoccaggio).



In ogni caso però l'andamento della pressione è assimilabile ad una retta senza per questo commettere errori.

In figura 9 sono riportati per i tre casi analizzati i relativi andamenti semplificati della pressione statica.

Nella figura 10 sono riportati i valori di portata massima del campo in funzione della riserva. Nel "range" di riserva analizzato dai tre casi l'andamento è identificabile con una retta.

Gcau
ing. G. Cau

Maiani
p. m. M. Maiani

Campo di Brughiera

COMPORTAMENTO PASSATO DEL POOL PRINCIPALE

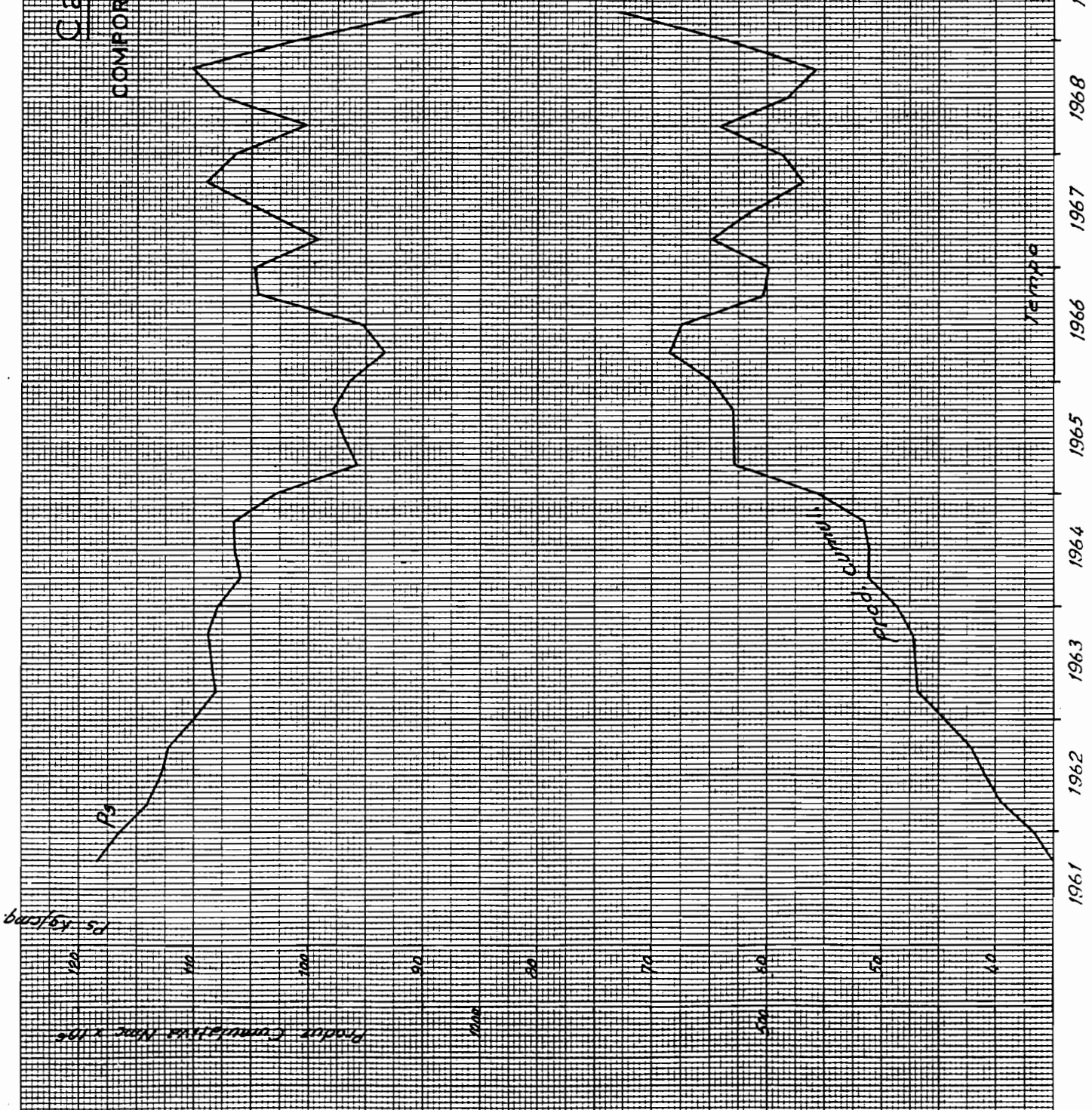


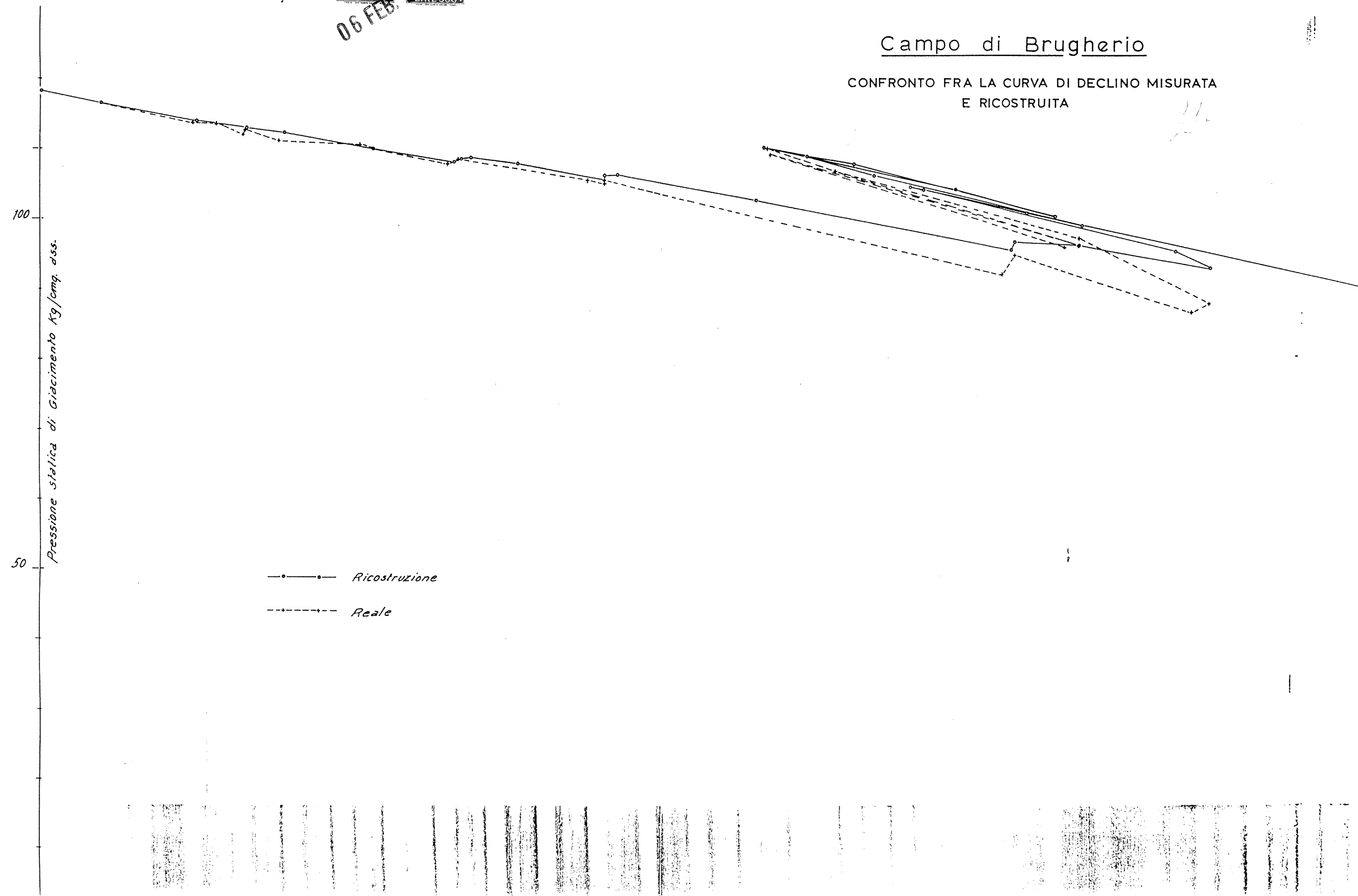
FIG. 1

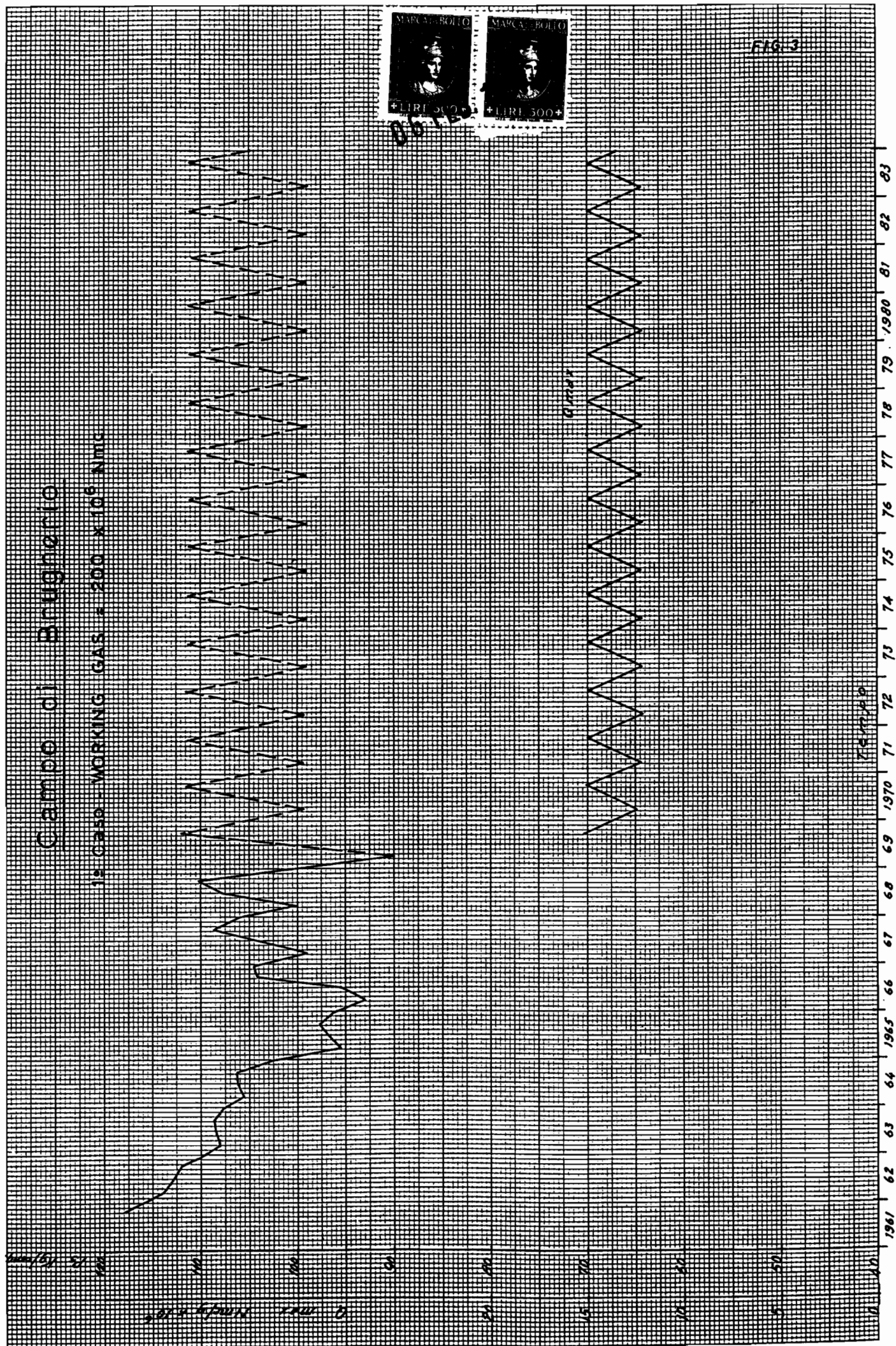


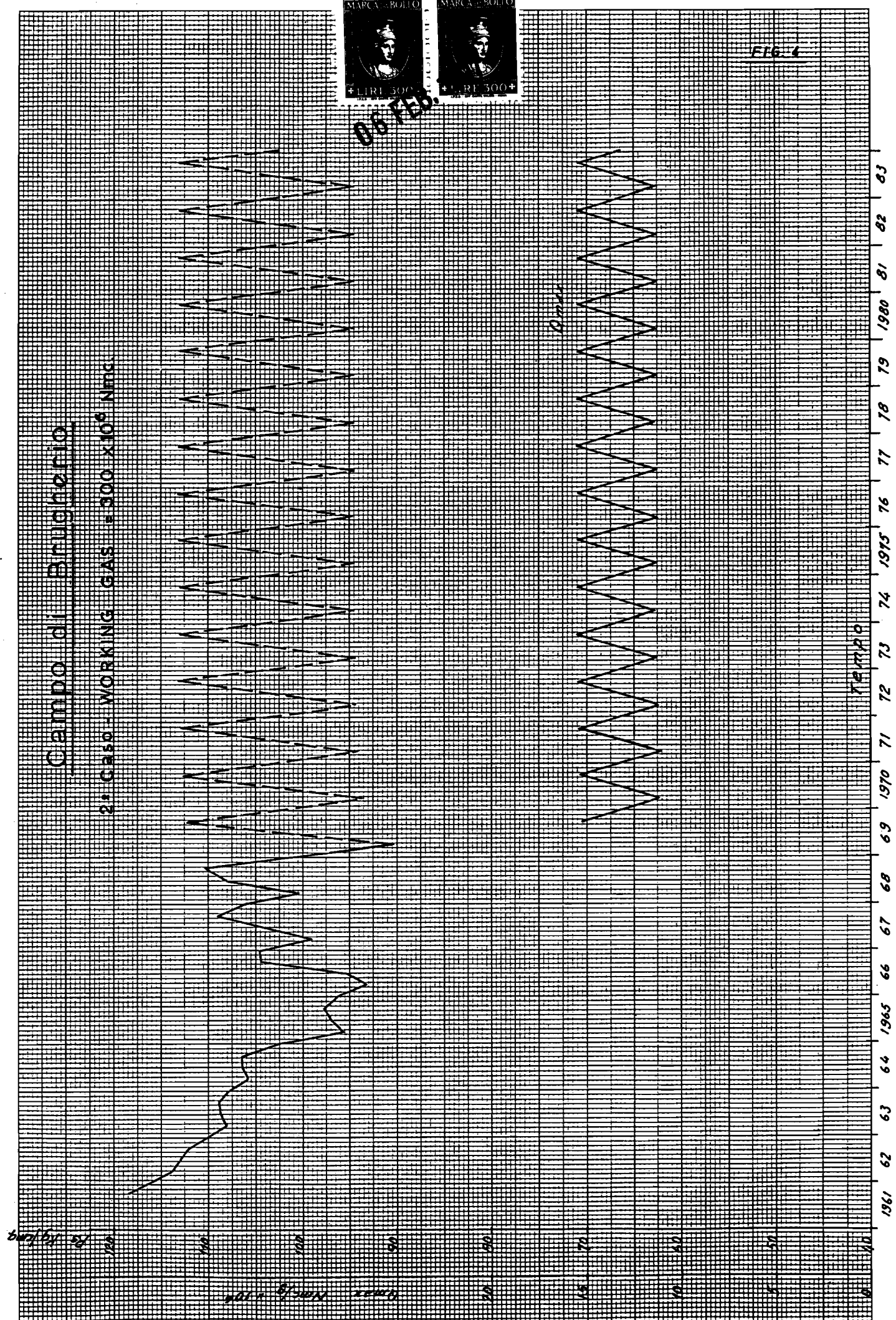
FIG. 2

Campo di Brugherio

CONFRONTO FRA LA CURVA DI DECLINO MISURATA
E RICOSTRUITA







卷之三



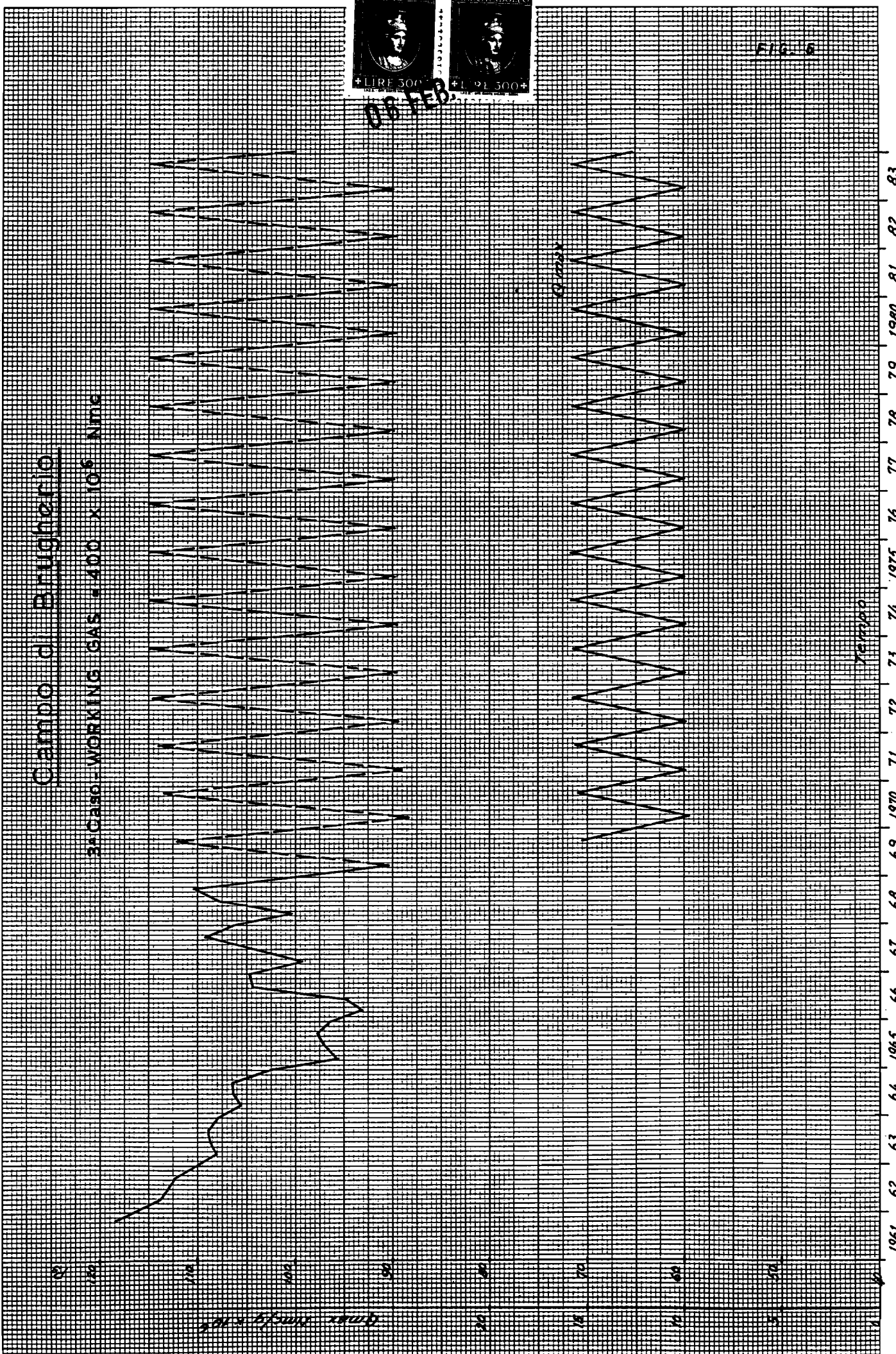
Campo di Brugherio

2: C2500 - WORKING GAs = 300 x 10⁶ N/m²

卷之三

Cambo di Brighterio

34 Cases - WORKING CASES = 400 x 10⁶ Nine



卷之三



FABRICATION SUISSE

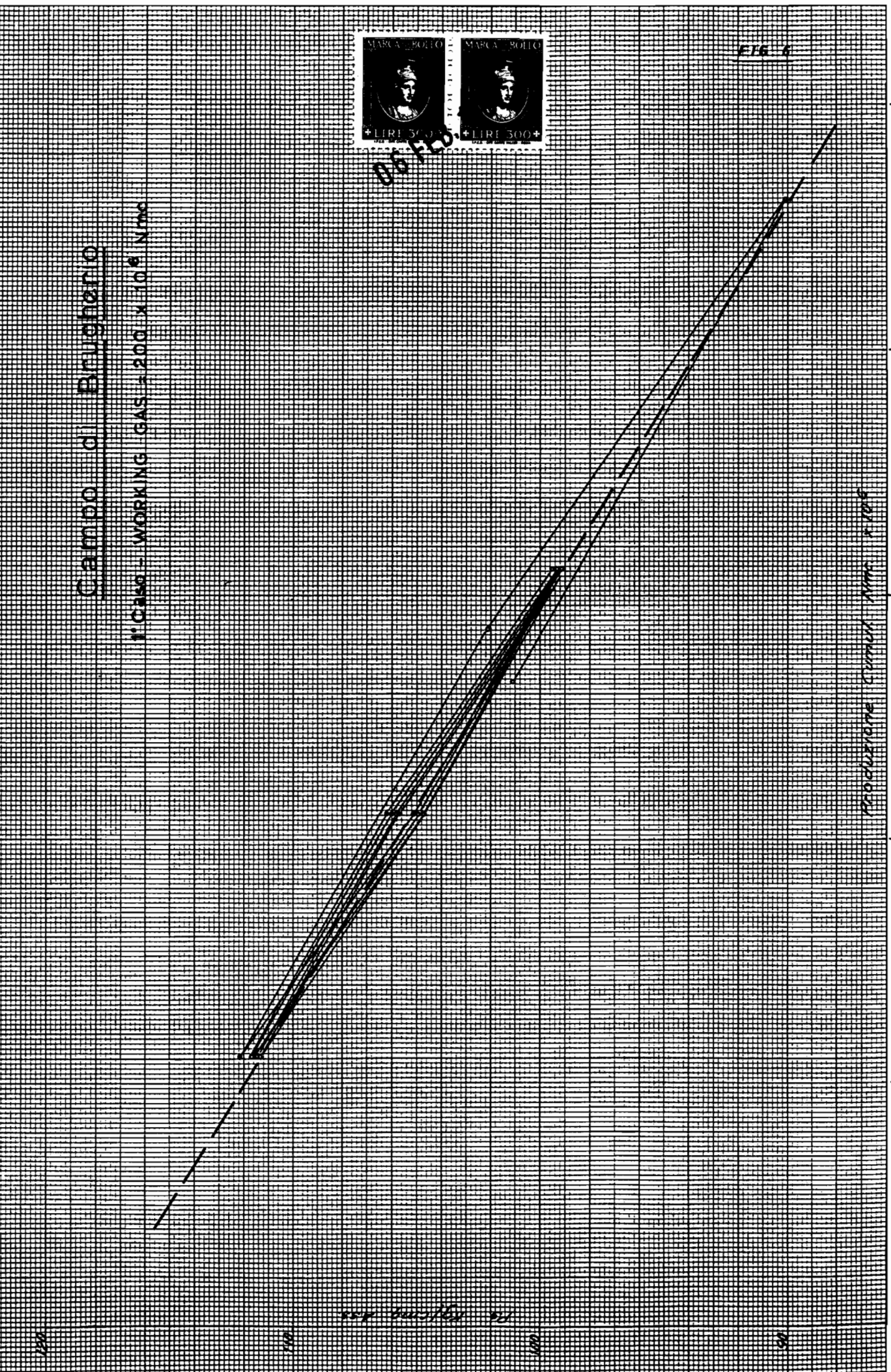
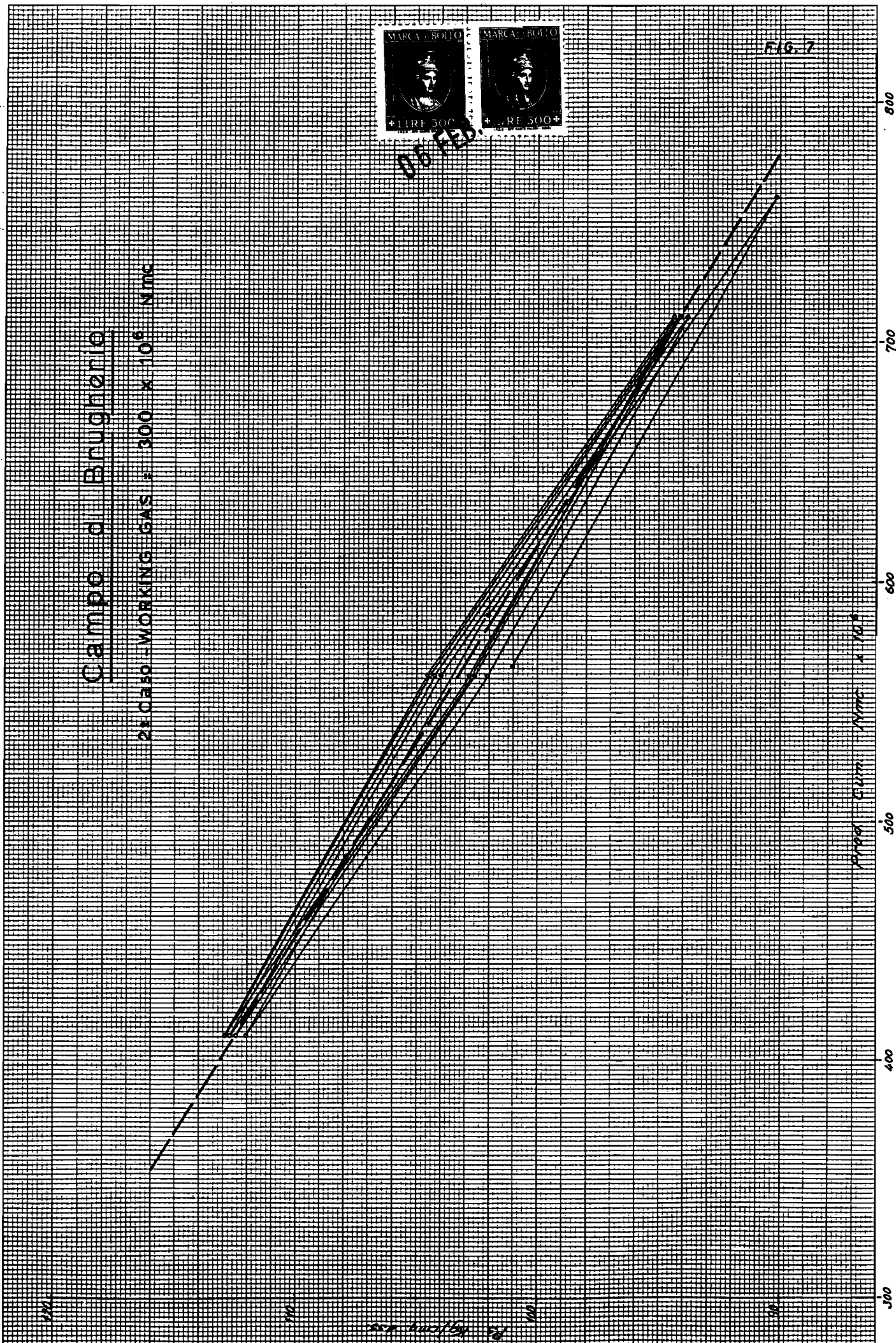


FIG. 7

CARBON MONOXIDE ABSORPTION



• TIRE 300 • 23



Campania di Brightenio

3. O₂ aso - WORKING GAS = 100 x 10⁶ Nm³



FIGURE

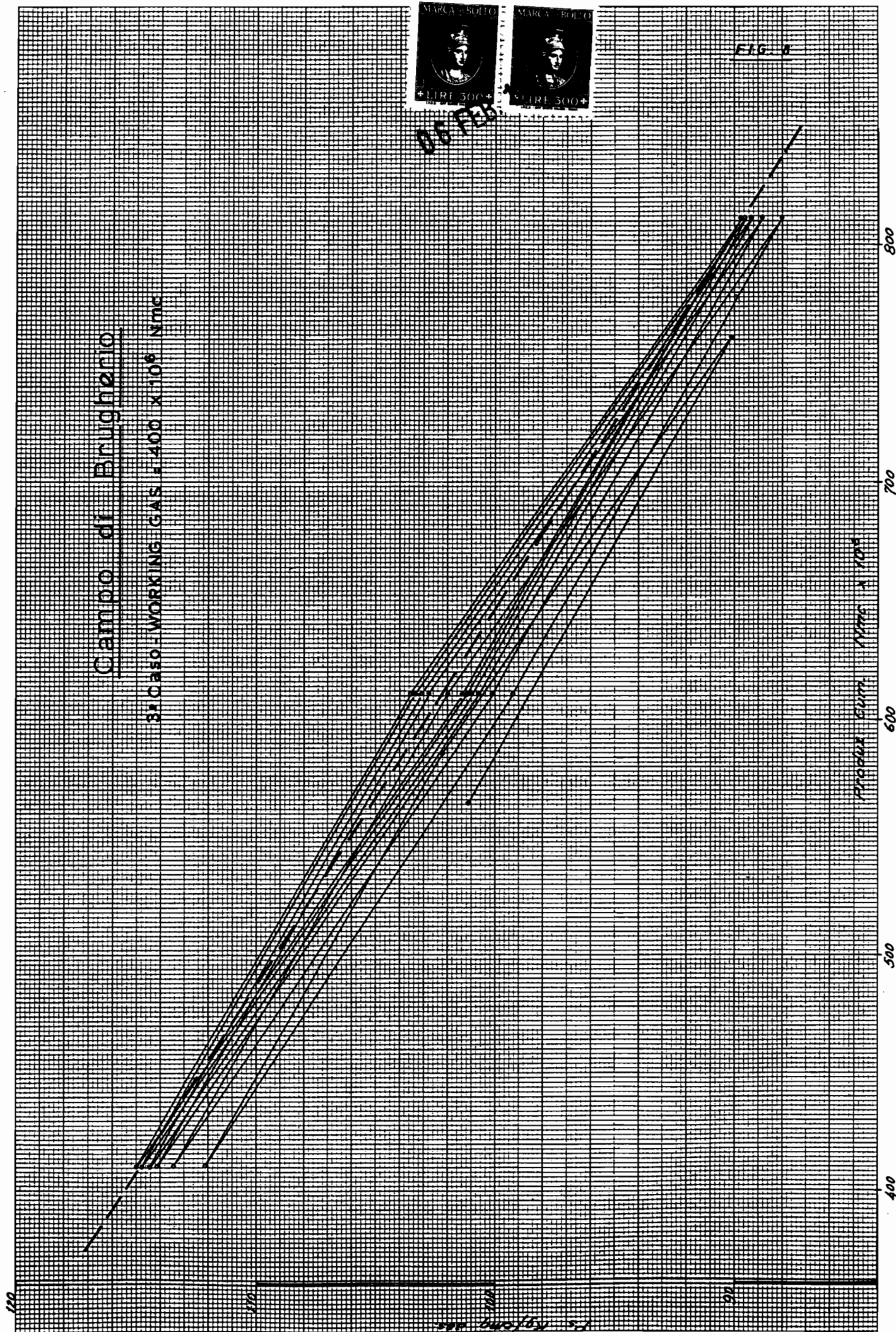


FIG. 9

Campo di Brigherio

ANDAMENTO DELLA PRODUZIONE IN FUNZIONE DELLA
PRODUZIONE CUMULATIVA



86

LIRE 500

LIRE 500

800

700

600

500

400

300

200

100

0

100

200

300

400

500

600

700

800

900

1000

1100

1200

1300

1400

1500

1600

1700

1800

1900

2000

2100

2200

2300

2400

2500

2600

2700

2800

2900

3000

3100

3200

3300

3400

3500

3600

3700

3800

3900

4000

4100

4200

4300

4400

4500

4600

4700

4800

4900

5000

5100

5200

5300

5400

5500

5600

5700

5800

5900

6000

6100

6200

6300

6400

6500

6600

6700

6800

6900

7000

7100

7200

7300

7400

7500

7600

7700

7800

7900

8000

8100

8200

8300

8400

8500

8600

8700

8800

8900

9000

9100

9200

9300

9400

9500

9600

9700

9800

9900

10000

con impiego

FABRICATION SUISSE

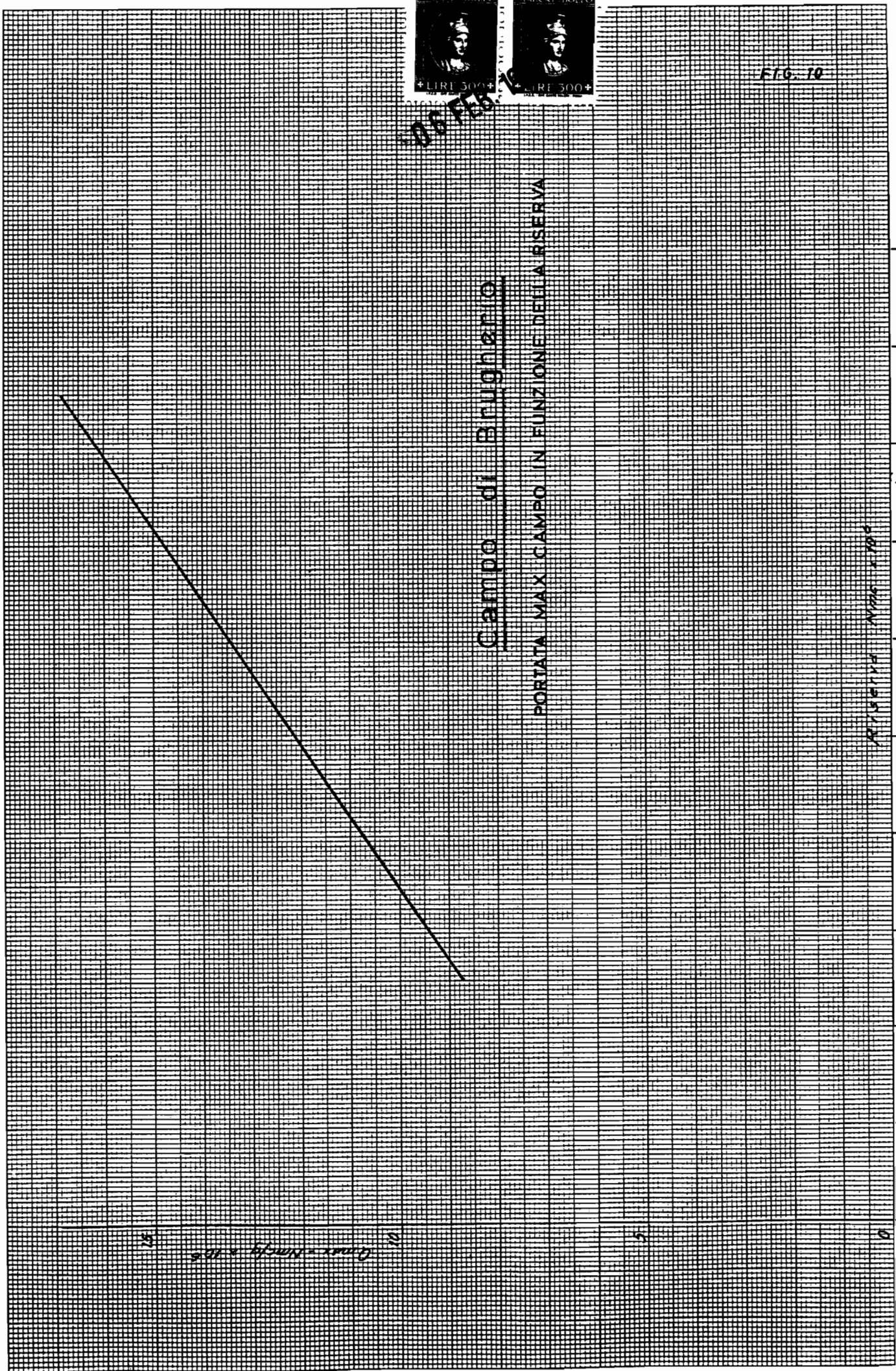


TABELLA 1

CAMPO DI BRUGHERIOComportamento passato della produzione

Data	P _s inizio ciclo Kg/cmq	P _s fine ciclo Kg/cmq	Gas stoccati o prodotto nel ciclo Nmcx10 ⁶	Produzione cumulativa Nmcx10 ⁶		P ciclo Kg/cmq	Nmcx10 ⁶ /atm
				Nmcx10 ⁶	Nmcx10 ⁶		
1-10-61/30-6-66	118,2	88,0	+ 671,0	671,0	30,2	22,2	
1- 7-66/31-10-66	88,0	106,8	- 220,8	450,2	18,8	11,7	
1-11-66/31- 3-67	106,8	96,2	+ 146,0	596,2	10,6	13,8	
1- 4-67/ 9-11-67	96,2	109,3	- 177,4	418,8	13,1	13,5	
10-11-67/15- 3-68	109,3	96,0	+ 169,5	588,3	13,3	12,7	
16- 3-68/25-10-68	96,0	109,9	- 170,5	417,8	13,9	12,3	
26-10-68/ 5- 5-69	109,9	85,6	+ 337,3	755,1	24,3	13,9	

+ = produzione

- = stoccaggio



06 FEB

Campo di Brugherio - pool A
 RICERCA DEL GAS ORIGINALMENTE IN POSTO

$\frac{T_d}{Re}$	0,005	0,01	0,025	0,035	0,05	0,07	0,5
∞	$G = 2178 \times 10^6$ $C = 20790$ $\sigma = 0,7109$				$G = 2219 \times 10^6$ $C = 3500$ $\sigma = 0,7502$		$G = 2221 \times 10^6$ $C = 509$ $\sigma = 0,8249$
10	$G = 2178 \times 10^6$ $C = 20790$ $\sigma = 0,7109$		$G = 2112 \times 10^6$ $C = 6659$ $\sigma = 0,7372$		$G = 2129 \times 10^6$ $C = 4474$ $\sigma = 0,7253$		$G = 666 \times 10^6$ $C = 484$ $\sigma = 5,28$
9		$G = 2102 \times 10^6$ $C = 12946$ $\sigma = 0,7324$	$G = 2094 \times 10^6$ $C = 6915$ $\sigma = 0,7117$	$G = 2063 \times 10^6$ $C = 5744$ $\sigma = 0,6820$			
8	$G = 2116 \times 10^6$ $C = 21229$ $\sigma = 0,6931$	$G = 2159 \times 10^6$ $C = 12716$ $\sigma = 0,6979$	$G = 2118 \times 10^6$ $C = 7234$ $\sigma = 0,6688$	$G = 2041 \times 10^6$ $C = 6526$ $\sigma = 0,6946$	$G = 1919 \times 10^6$ $C = 6010$ $\sigma = 0,7125$	$G = 1734 \times 10^6$ $C = 6083$ $\sigma = 0,8105$	
7		$G = 2138 \times 10^6$ $C = 13378$ $\sigma = 0,6774$	$G = 2064 \times 10^6$ $C = 8129$ $\sigma = 0,6519$	$G = 1974 \times 10^6$ $C = 7518$ $\sigma = 0,6757$			
6	$G = 2108 \times 10^6$ $C = 21687$ $\sigma = 0,6819$	$G = 2110 \times 10^6$ $C = 14006$ $\sigma = 0,6660$	$G = 2012 \times 10^6$ $C = 9541$ $\sigma = 0,7125$	$G = 1842 \times 10^6$ $C = 9294$ $\sigma = 0,7220$	$G = 1682 \times 10^6$ $C = 9510$ $\sigma = 0,8347$	$G = 1398 \times 10^6$ $C = 10591$ $\sigma = 1,072$	



TAB. 2



AGIP
S.p.A.
DIREZIONE MINERARIA

Servizio G.I.A.C.

TABELLA 3
CAMPO DI BRUGHERIO

Previsioni di produzione e stoccaggio
I° Caso - Working gas = 200×10^6 Nmc

1	2	3	4	5	6	7	8	9
D	A	T	A					
Inizio step	Fine step	Q _{max} inizio step	Q _{media} giornal.	Produzione per step (richiesta)	Produzione cumulativa	P _s pressione statica di giacimento	P _s pressione minima centrale	
		Nmc/gx10 ³	Nmc/gx10 ³	Nmcx10 ⁶	Nmcx10 ⁶	Kg/cmq	Kg/cmq	
1. 1.69	31. 3.69	-	2157,0	196,8	761	90,2	58,6	
1. 4.69	30. 6.69	-	-1918,0	-175,0	586	102,1		
1. 7.69	30. 9.69	-	-1918,0	-175,0	411	112,1		
1. 10.69	31. 12.69	15.200	1096,0	100,0	511	105,1	58,0	
1. 1.70	31. 3.70	13.700	1096,0	100,0	611	99,5	58,0	
1. 4.70	30. 6.70	12.400	-1096,0	-100,0	511	106,1		
1. 7.70	30. 9.70		-1096,0	-100,0	411	111,6		
1. 10.70	31. 12.70	15.100	1096,0	100,0	511	104,9	58,0	
1. 1.71	31. 3.71	13.600	1096,0	100,0	611	99,3	58,0	
1. 4.71	30. 6.71	12.300	-1096,0	-100,0	511	106,0		
1. 7.71	30. 9.71		-1096,0	-100,0	411	111,4		
1. 10.71	31. 12.71	15.000	1096,0	100,0	511	104,8	58,0	
1. 1.72	31. 3.72	13.600	1096,0	100,0	611	99,3	58,0	
1. 4.72	30. 6.72	12.200	-1096,0	-100,0	511	105,8		
1. 7.72	30. 9.72		-1096,0	-100,0	411	111,3		
1. 10.72	31. 12.72	15.000	1096,0	100,0	511	104,7	58,0	
1. 1.73	31. 3.73	13.600	1096,0	100,0	611	99,2	58,0	
1. 4.73	30. 6.73	12.200	-1096,0	-100,0	511	105,8		
1. 7.73	30. 9.73		-1096,0	-100,0	411	111,2		
1. 10.73	31. 12.73	15.000	1096,0	100,0	511	104,7	58,0	
1. 1.74	31. 3.74	13.600	1096,0	100,0	611	99,1	58,0	
1. 4.74	30. 6.74	12.200	-1096,0	-100,0	511	105,8		
1. 7.74	30. 9.74		-1096,0	-100,0	411	111,2		
1. 10.74	31. 12.74	15.000	1096,0	100,0	511	104,7	58,0	
1. 1.75	31. 3.75	13.600	1096,0	100,0	611	99,1	58,0	
1. 4.75	30. 6.75	12.200	-1096,0	-100,0	511	105,7		
1. 7.75	30. 9.75		-1096,0	-100,0	411	111,2		
1. 10.75	31. 12.75	15.000	1096,0	100,0	511	104,6	58,0	
1. 1.76	31. 3.76	13.600	1096,0	100,0	611	99,1	58,0	
1. 4.76	30. 6.76	12.200	-1096,0	-100,0	511	105,7		
1. 7.76	30. 9.76		-1096,0	-100,0	411	111,2		
1. 10.76	31. 12.76	15.000	1096,0	100,0	511	104,6	58,0	



06/1970

TABELLA 4

CAMPO DI BRUGHERIO

Previsioni di produzione e stoccaggio
II Caso - Working gas = 300×10^6 Nmc

1	2	3	4	5	6	7	8	9
D A T A		Q_{max} possibile inizio step	Q_{media} giornal.	Produzione per step (richiesta)	Produzione cumulativa	P_s pressione statica di giacimento	P_s pressione minima centrale	
Inizio step	Fine step	Nmc/gx10 ³	Nmc/gx10 ³	Nmcx10 ⁶	Nmcx10 ⁶	Kg/cmq	Kg/cmq	
1. 1. 69	31. 3. 69	-	2157,0	196,8	761	90,2	58,0	
1. 4. 69	30. 6. 69	-	- 1918,0	- 175,0	586	102,1		
1. 7. 69	30. 9. 69		- 1918,0	- 175,0	411	112,1		
1. 10. 69	31. 12. 69	15.200	1644,0	150,0	561	102,2	58,0	
1. 1. 70	31. 3. 70	13.000	1644,0	150,0	711	93,8	58,0	
1. 4. 70	30. 6. 70	11.100	- 1644,0	- 150,0	561	104,1		
1. 7. 70	30. 9. 70		- 1644,0	- 150,0	411	112,5		
1. 10. 70	31. 12. 70	15.300	1644,0	150,0	561	102,6	58,0	
1. 1. 71	31. 3. 71	13.100	1644,0	150,0	711	94,2	58,0	
1. 4. 71	30. 6. 71	11.200	- 1644,0	- 150,0	561	104,3		
1. 7. 71	31. 9. 71		- 1644,0	- 150,0	411	112,7		
1. 10. 71	31. 12. 71	15.300	1644,0	150,0	561	102,7	58,0	
1. 1. 72	31. 3. 72	13.100	1644,0	150,0	711	94,3	58,0	
1. 4. 72	31. 6. 72	11.200	- 1644,0	- 150,0	561	104,5		
1. 7. 72	30. 9. 72		- 1644,0	- 150,0	411	112,9		
1. 10. 72	31. 12. 72	15.400	1644,0	150,0	561	102,8	58,0	
1. 1. 73	31. 3. 73	13.200	1644,0	150,0	711	94,4	58,0	
1. 4. 73	30. 6. 73	11.300	- 1644,0	- 150,0	561	104,6		
1. 7. 73	30. 9. 73		- 1644,0	- 150,0	411	112,9		
1. 10. 73	31. 12. 73	15.400	1644,0	150,0	561	102,9	58,0	
1. 1. 74	31. 3. 74	13.200	1644,0	150,0	711	94,5	58,0	
1. 4. 74	30. 6. 74	11.300	- 1644,0	- 150,0	561	104,6		
1. 7. 74	30. 9. 74		- 1644,0	- 150,0	411	112,9		
1. 10. 74	31. 12. 74	15.400	1644,0	150,0	561	102,9	58,0	
1. 1. 75	31. 3. 75	13.200	1644,0	150,0	711	94,5	58,0	
1. 4. 75	30. 6. 75	11.300	- 1644,0	- 150,0	561	104,6		
1. 7. 75	30. 9. 75		- 1644,0	- 150,0	411	113,0		
1. 10. 75	31. 12. 75	15.400	1644,0	150,0	561	103,0	58,0	
1. 1. 76	31. 3. 76	13.200	1644,0	150,0	711	94,5	58,0	
1. 4. 76	30. 6. 76	11.300	- 1644,0	- 150,0	561	104,7		
1. 7. 76	30. 9. 76		- 1644,0	- 150,0	411	113,0		
1. 10. 76	31. 12. 76	15.400	1644,0	150,0	561	103,0	58,0	



AGIP
S.p.A.
DIREZIONE MINERARIA

Servizio G.I.A.C.

TABELLA 3

CAMPO DI BRUGHERIO

Previsioni di produzione e stoccaggio
I° Caso - Working gas = 200×10^6 Nmc

1	2	3	4	5	6	7	8	9
D A T A		Q _{max} inizio step	Q _{media} giornal.	Produzione per step (richiesta)	Produzione cumulativa	P _s pressione statica di giacimento	P _s pressione minima centrale	
Inizio step	Fine step	Nmc/gx10 ³	Nmc/gx10 ³	Nmcx10 ⁶	Nmcx10 ⁶	Kg/cmq	Kg/cmq	
1. 1. 69	31. 3. 69	-	2157,0	196,8	761	90,2	58,6	
1. 4. 69	30. 6. 69	-	-1918,0	-175,0	586	102,1		
1. 7. 69	30. 9. 69	-	-1918,0	-175,0	411	112,1		
1. 10. 69	31. 12. 69	15. 200	1096,0	100,0	511	105,1	58,0	
1. 1. 70	31. 3. 70	13. 700	1096,0	100,0	611	99,5	58,0	
1. 4. 70	30. 6. 70	12. 400	-1096,0	-100,0	511	106,1		
1. 7. 70	30. 9. 70	-	-1096,0	-100,0	411	111,6		
1. 10. 70	31. 12. 70	15. 100	109,60	100,0	511	104,9	58,0	
1. 1. 71	31. 3. 71	13. 600	1096,0	100,0	611	99,3	58,0	
1. 4. 71	30. 6. 71	12. 300	-1096,0	-100,0	511	106,0		
1. 7. 71	30. 9. 71	-	-1096,0	-100,0	411	111,4		
1. 10. 71	31. 12. 71	15. 000	1096,0	100,0	511	104,8	58,0	
1. 1. 72	31. 3. 72	13. 600	1096,0	100,0	611	99,3	58,0	
1. 4. 62	30. 6. 72	12. 200	-1096,0	-100,0	511	105,8		
1. 7. 72	30. 9. 72	-	-1096,0	-100,0	411	111,3		
1. 10. 72	31. 12. 72	15. 000	1096,0	100,0	511	104,7	58,0	
1. 1. 73	31. 3. 73	13. 600	1096,0	100,0	611	99,2	58,0	
1. 4. 73	30. 6. 73	12. 200	-1096,0	-100,0	511	105,8		
1. 7. 73	30. 9. 73	-	-1096,0	-100,0	411	111,2		
1. 10. 73	31. 12. 73	15. 000	1096,0	100,0	511	104,7	58,0	
1. 1. 74	31. 3. 74	13. 600	1096,0	100,0	611	99,1	58,0	
1. 4. 74	30. 6. 74	12. 200	-1096,0	-100,0	511	105,8		
1. 7. 74	30. 9. 74	-	-1096,0	-100,0	411	111,2		
1. 10. 74	31. 12. 74	15. 000	1096,0	100,0	511	104,7	58,0	
1. 1. 75	31. 3. 75	13. 600	1096,0	100,0	611	99,1	58,0	
1. 4. 75	30. 6. 75	12. 200	-1096,0	-100,0	511	105,7		
1. 7. 75	30. 9. 75	-	-1096,0	-100,0	411	111,2		
1. 10. 75	31. 12. 75	15. 000	1096,0	100,0	511	104,6	58,0	
1. 1. 76	31. 3. 76	13. 600	1096,0	100,0	611	99,1	58,0	
1. 4. 76	30. 6. 76	12. 200	-1096,0	-100,0	511	105,7		
1. 7. 76	30. 9. 76	-	-1096,0	-100,0	411	111,2		
1. 10. 76	31. 12. 76	15. 000	1096,0	100,0	511	104,6	58,0	